

Ca - V

IX 2693

1938

$\text{CaO} \cdot \text{V}_2\text{O}_5$; $2\text{CaO} \cdot \text{V}_2\text{O}_5$; $3\text{CaO} \cdot \frac{1}{2}\text{V}_2\text{O}_5$

(Tn)

Moscow a. N.

Metallurg, 1938, 13, N 13, 21-8

5

C.A., 1940, 1544⁵

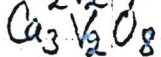
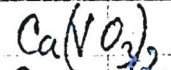
1961

Low-temperature heat capacities and entropies at 298.15° K. of three calcium vanadates. E. G. King and W. W. Weller (U.S. Bur. of Mines, Berkeley, Calif.). *U.S. Bur. Mines, Rept. Invest.* No. 5954, 6 pp. (1961).—Three cryst. Ca vanadates were prep'd.: CaV_2O_6 , $\text{Ca}_2\text{V}_2\text{O}_7$, and $\text{Ca}_3\text{V}_2\text{O}_8$. The metavanadate CaV_2O_6 had values $S^\circ_{51} = 3.32$; $S^\circ_{298.15} - S^\circ_{51} = 39.46$; $S^\circ_{298.15} = 42.8 \pm 0.4$ cal./degree mole. Entropy of formation from oxides, $\Delta S^\circ_{298.15}$, was 2.0 cal./degree mole, and from elements, -128.2. Entropies at 298.15° K. for the pyrovanadate $\text{Ca}_2\text{V}_2\text{O}_7$ were ΔS°_{51} (extrapolated) = 3.87, $S^\circ_{298.15} - S^\circ_{51}$ (measured) = 48.33, and $S^\circ_{298.15} = 52.7 \pm 0.4$ cal./degree mole. Entropies of formation at 298.15° K. were $\Delta S^\circ_{298.15} = 2.4$ from oxides and -152.8 cal./degree mole from elements. Entropies for the orthovanadate at 298.15° K. were $S^\circ_{51} = 4.94$ (extrapolated), $S^\circ_{298.15} - S^\circ_{51}$ (measured) = 60.75, and $S^\circ_{298.15} = 65.7 \pm 0.5$ cal./degree mole. The abnormally large entropies of formation for the ortho- and pyrovanadates could not be checked because d. data are lacking. Such large entropies of formation generally can be assocd. with large molal vols. No similar data for these 3 compds. have been published previously.

C. W. Schuck

C.A. 1962, 56-10

10999iu



Op

8998,15

on March 2709

1962

CaV₂O₆

MgV₂O₆

Heats and free energies of formation of calcium and magnesium vanadates. E. G. King, Mary F. Kochler, and L. H. Adami (U.S. Bur. of Mines, Berkeley, Calif.). U.S. Bur. Mines, Rept. Invest. No. 6049, 11 pp. (1962). The data show that the vanadates of Ca and Mg are stable with respect to all possible decompsns. in which V remains quinquevalent. Values of $\Delta H_{298.15}$ for CaV₂O₆, Ca₂V₂O₇, and Ca₃V₂O₈ from oxides were -34.3 ± 0.2 , -62.7 ± 0.2 , and -76.9 ± 0.2 kcal./mole, resp. From elements, -556.7 ± 0.5 , -736.9 ± 0.6 , and -903.0 ± 0.8 kcal./mole, resp. The MgV₂O₆ and Mg₂V₂O₇ values of ΔH from oxides were -11.7 ± 0.2 and -19.6 ± 0.2 kcal./mole, resp., from elements, -526.2 ± 0.5 and -677.7 ± 0.5 kcal./mole, resp.

C. W. Schuck

C.A. 1962. 57. 13

1589391

Ca - vanadate

1966

6068f Effect of calcium oxide on the amount of water-soluble vanadium pentoxide in the $\text{CaO}-\text{V}_2\text{O}_5-\text{Na}_2\text{O}$ system. N. G. Moleva and F. K. Korovyachenko. *Zh. Neorg. Khim.* **11**(10), 2383-6(1966)(Russ). The effect of CaO on the amt. of water-sol. V compds. was studied in the section of the ternary system which is limited by the compds. CaO , NaVO_3 , and V_2O_5 . In the binary system $\text{CaO}-\text{V}_2\text{O}_5$ 3 chem. compds. exist: $\text{CaO.V}_2\text{O}_5$ m. 778° , $2\text{CaO.V}_2\text{O}_5$ m. 1015° , and $3\text{CaO.V}_2\text{O}_5$ m. 1350° . The lowest equil. temp. in the system is at 65 wt. % Ca vanadate, viz. 520° . In the solid state at 455° a transformation takes place with the liberation of heat. This thermal effect is greatest for mixts. which are rich in Na vanadate. The mixts. of the section which lie in the field of primary crystn. of Ca vanadate solidify with great supercooling sometimes attaining $40-50^\circ$. In a mixt. contg. 10% Na vanadate the principal field of crystn. is the field of the lengthened crystals of Ca vanadate. In a mixt.

C.A.: 1967-66-2

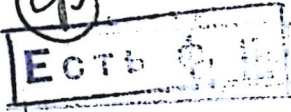
contg. 55% Na vanadate the amt. of $\text{CaO} \cdot \text{V}_2\text{O}_5$ does not exceed 5-7%. It is found in this region only at the eutectic. Up to 20% of the V_2O_5 contained in the Ca vandate is dissolved in water. In the region beyond the eutectic the amt. of water-sol. V_2O_5 is less than the theoretical value. Ca vanadate which is dissolved in Na vandate decreases the solv. of the latter in water. The microstructure of the mixt. contg. 90% bicalcium vanadate shows that the grains of Na vanadate comprise only an insignificant percentage of the whole. In a mixt. contg. 50% bicalcium vanadate the ratio of the phases is approx. equal. The Ca vanadates probably form no chem. compds. among themselves. Na vanadate dissolves Ca vanadates in the amt. of 10-15%. The amt. of Na vandate passing into the aq. soln. decreases. The highest losses of V_2O_5 (4.7-4.9% V_2O_5 per 1% CaO) are observed for mixts. located in the concd. triangle $\text{CaO} \cdot \text{V}_2\text{O}_5 \cdot \text{NaVO}_3 \cdot \text{V}_2\text{O}_5$ in the field of primary sepn. of Na vanadate. The insignificant solv. of the Ca vanadates in H_2O increases the extn. of V_2O_5 on sections with low contents of Na_2O . L. Holl

$\text{Na}_4\text{V}_2\text{O}_7$; (T_m)
 $\text{Ca}_2\text{V}_2\text{O}_7$

IX 339
1967

Oliver D., Rabbette P;
C.r. Acad. Sci, Paris, Ser. C.,
1967, 265 (25), 1451-54

16



Ca 1968

СаFe₂O₄, Са₂Fe₂O₅ (36, 9) 18389 1967

Резухина Т.Н., Борисовская Ю.

"Электротехника", 1967, 3, № 1186-1189

Магнитомеханические свойства СаFe₂O₄ и
Са₂Fe₂O₅ из измерений гальванических
ячеек с твердым электролитом при
температурах выше 1000°.

РНКиН, 1968
116699

M (cp)

1968

 $\text{Ca V}_2\text{O}_6$

22 Б472. Микроскопические свойства ванадатов кальция CaV_2O_6 , $\text{Ca}_2\text{V}_2\text{O}_7$, $\text{Ca}_3\text{V}_2\text{O}_8$. Макаров В. А., Фотиев А. А., Серебрякова Л. Н. «Кристаллография», 1968, 13, № 2, 333—334

Исследованием микроскопич. свойств ванадатов кальция показано, что CaV_2O_6 (I), $\text{Ca}_2\text{V}_2\text{O}_7$ (II) и $\text{Ca}_3\text{V}_2\text{O}_8$ (III) кристаллизуются в монокл. сингонии: I $\beta = 105^\circ 40'$; $2V = 83^\circ$; $N_g = 2,13$; $N_m = 1,995$; $N_p = 1,916$, дисперсия $r > v$ сильная; ρ (эксп.) 3,59; II 112° ; $41-42^\circ$; 2,132; 2,00; 1,942; $r \gg v$ 3,36; III 115° ; 8° ; 1,890; 1,885; 1,864; 3,16.

Даны оптич. ориентировки кристаллов. Автореферат

X · 1968 · 22

$\text{Ba}_3(\text{VF}_6)_2$, Ba VF_5 (T_m)

1969

Ca VF_5 (T_{tr})

g X 631

Czeckene & J.-C.

C. z. Acad. Sci., 1969, C 268, N 10, 945-947 (pp 945)

Les systèmes $\text{VF}_3 - \text{MF}_2$ ($M = \text{Ca}, \text{Sr}$ ou Ba)

E.C.T.B. Ch. R.

6-6 (P)

PHL Kar, 1969

185789

ВФ-2878-IX 1969

3CaO · V₂O₅

Система

3 Б797. Термодинамические свойства системы CaO—V₂O₅. Сергин Б. И., Лепинских Б. М., Плинер Ю. Л. «Тр. Ин-та металлургии. Уральский фил. АН СССР», вып. 18, 63—71.

Из измерений э. д. с. ячейки Ni, V|CaO, V₂O₅(C₁)|Al₂O₃|CaO, V₂O₅(C₂)|Ni, V при 1400° в интервале конц-ий (C) от 0,072 до 0,528 определены активности и теплоты смешения V₂O₅ и CaO. Установлено, что на границе раздела электрод—электролит преимущественно находятся цоны ванадия низших валентностей V²⁺, V³⁺. Зависимость активностей от состава показывает отрицат. отклонение от идеальности. Максим. значение интегральной теплоты смешения в пределах изученных интервалов составляет 1,3 ккал/моль и близко к составу хим. соединения 3CaO · V₂O₅. Обсуждаются энергетич. эффекты, связанные с образованием комплексных группировок в изученных расплавах и других окисных системах. А. Гузей

Герасимов.

св-бз

X · 1970 · 3

BP-2878-IX 1969

CaO-V₂O₅

104638s Thermodynamic properties of a calcium oxide-vanadium pentoxide system. Sergin, B. I.; Lepinshkikh, B. M.; Pliner, Yu. L. (USSR). *Tr. Inst. Met., Sverdlovsk* 1969,

(Circular) No. 18, 63-71 (Russ). The following high-temp. electrochem. cell, devoid of ion transfer, was used for the title study: Ni,V|CaO, V₂O₅(C₁)|Al₂O₃|CaO, V₂O₅(C₂)|Ni, V where C is concn. The emf. in this cell is detd. by the transfer of ions of V from the slag into the metal. An app. for studying the activity at 1400° is described and shown. The following equations were derived to characterize deviations of studied alloys from ideal solns. $RT \log \gamma_{V_2O_5} = -4220 \cdot N_{CaO}^2 + 3440 \cdot N_{CaO}^3$, and $RT \log \gamma_{CaO} = -7830N_{V_2O_5}^2 + 3340N_{V_2O_5}^3$, where N_{CaO} and $N_{V_2O_5}$ are molar fractions, resp., and γ_{CaO} and $\gamma_{V_2O_5}$ are activity coeffs., resp., R is the Reynolds no., and T is the abs. temp. GMJR

measured.

cb-69

C.A. 1970. 12.20

1970

 $\text{CaV}_{12}\text{O}_{30}$

17 Б1177. Температурная зависимость давления кислорода при образовании ванадиевой бронзы кальция.
Волков В. Л., Фотиев А. А., Несуймин А. Д.
 «Ж. физ. химии», 1970, 44, № 3, 609—612

Методом измерения э. д. с. гальванич. ячейки с тв. электролитом $\text{Pt}(\text{O}_2)|\text{ZrO}_2+\text{Ca}|\text{CaV}_2\text{O}_6, \text{V}_2\text{O}_5, \text{CaV}_{12}\text{O}_{30}|$ $|\text{Pt}(\text{O}_2)$ при $803-888^\circ\text{K}$ исследовано образование ванадиевой бронзы кальция состава $\text{CaV}_{12}\text{O}_{30}$, (I), протекающее согласно ур-нию $\text{CaV}_2\text{O}_6+5\text{V}_2\text{O}_5 \rightleftharpoons \text{CaV}_{12}\text{O}_{30} + 1/2\text{O}_2$. На основании эксперим. данных установлена т-рная зависимость $\lg P_{\text{O}_2}$ этой р-ции. Оценены термодинамич. характеристики I и определены его стандартные энтропия и энтальпия.

Автореферат

21/9

ДН

S

X, 1970.

17

Cal 4250
2.5

1971

77179s Thermal analysis of the vanadium pentoxide-calcium metavanadate system. Fedorov, P. I.; Slotvinskii-Sidak, N. P.; Vorob'eva, G. V.; Andreev, V. K. (Mosk. Inst. Tonkoi Khim. Tekhnol. im. Lomonosova, Moscow, USSR). *Izv. Vyssh. Ucheb. Zaved., Khim. Khim. Tekhnol.* 1971, 14(11), 1750-1 (Russ). DTA of the system V_2O_5 -CaO at ≤ 50 mole % CaO indicates a eutectic compn. contg. 13.5% CaO and m. 613° , and the formation of a metastable compd. $CaO \cdot 4V_2O_5$, m. incongruently at 645° . The latter is decompd. by fusion at 570° for 6 hrs.

C. E. Stevenson

C.A. 1972 78 74

$V_2O_7 \cdot 2H_2O$; $Ca_2V_2O_7$, $Ba_2V_2O_7$ (V_2) 1971

$V_2O_2 \cdot H_2O$, $Sr_2V_2O_7$, $Ba_2V_2O_7 \cdot 0.5H_2O$

Schwend. P., Petrović P; IX 3590

Proc. 3rd Cong. Eur. Chem.

Bratislava - Smolenice, 1971,
Bratislava, 1971, 307-311 (anu.)

Varied spectra of alkali-
with pyro-malates.

Jug, 1972, 2000

$(Ca_{1-x}Ba_x)_2SiO_4$; /
 $Ca_2PySi_{1-y}O_4$; $(Tr, \Delta H_{Tr})$ 13 3520
 $Ca_2VySi_{1-y}O_4$

Suzuki T., Horiehashi I., Hukui H,

Yogyo Kyokai Shi, 1971, 79, N910, 199-
-208 (amu.)

X-ray characteristics of calcium silicate with the single crystals synthesized an portland. d isolated from cement clinker.

5 (P)

CA, 1971, 75, N14, 92 1550L

Р203-Са0 (рас. гуаш.) 18 4220 1972

Лопато А.М., Лучин А.Н., Чеб-
ченко А.В.,

Ж. Недр. хим., 1972, 17, № 9, 2543-5.

(русск.)

Разовая фасадная смесь
из полупористого окиса
природного - окись кальция.

Б (Ф)

(см. описание) 07, 1973, 78, № 8, 48834 к

$\text{CaO} \cdot \text{V}_2\text{O}_5$ } 1973
2 $\text{CaO} \cdot \text{V}_2\text{O}_5$ } m.s.
3 $\text{CaO} \cdot \text{V}_2\text{O}_5$ } Basin Y., et al.

298-1051 m.s. I, comp. 209-210.

298-1288

298-1653

● (see Ag F) I

1973

$\text{Ca}_3(\text{VO}_4)_2$ 18 Б325. Структура $\text{Ca}_3(\text{VO}_4)_2$. Gopal R., Calvo C. The structure of $\text{Ca}_3(\text{VO}_4)_2$. «Z. Kristallogr.», 1973, 137, № 1, 67—85 (англ.; рез. нем.)

Произведено уточнение крист. структуры $\text{Ca}_3(\text{VO}_4)_2$ (I). Кристаллы I относятся к гексагон. сингонии, ф. гр. $R\bar{3}c$, параметры решетки уточнены из данных метода порошка МНК: в гексагон. установке $a = 10,809$, $c = 38,028\text{ \AA}$, в ромбоэдрич. $a = 14,124\text{ \AA}$, $\alpha = 44,962^\circ$, $Z = 7$ для ромбоэдрич. ячейки. Структура I уточнена в полноматричном приближении МНК с использованием весовой схемы до $R = 0,049$. Эксперим. набор рефлексов для уточнения (1252 отражения) получен в интегрирующей прецессионной камере. Структура родственна $\text{Ba}_3(\text{VO}_4)_2$ (II).

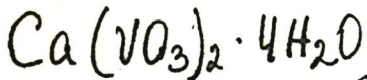
Структура

X. 1973 N 18

однако в элементарной ячейке I присутствует 7/8 числа формульных единиц увеличенной в 8 раз элементарной ячейки II. В цепях, вытянутых вдоль тройных осей структуры I, отсутствует одна формульная единица, что объясняено меньшим ионным радиусом Ca^{2+} по сравнению с Ba^{2+} . Атомы $\text{Ca}_{(1)}$ имеют искаженную октадрическую координацию, расстояния $\text{Ca}_{(1)}-\text{O}$ 2,297 Å, атомы $\text{Ca}_{(2)}$ занимают лишь половину возможных положений правильной системы точек, 2-я половина остается незаполненной. Остальные атомы Ca окружены 8, 7 и 8 атомами O со средними расстояниями $\text{Ca}-\text{O}$ 2,525; 2,442 и 2,570 Å, соотв. Атомы V имеют искаженную тетраэдрическую координацию со средним расстоянием $\text{V}-\text{O}$ 1,691 Å.

М. Б. Варфоломеев

1973



BP-18-4308

20932s Calcium metavanadate tetrahydrate. Leitsin, V. A.; Sirina, T. P.; Pershina, R. F. (Chelyab. Nauchno-Issled. Inst. Metall., Chelyabinsk, USSR). *Zh. Neorg. Khim.* 1973, 18(9), 2564-5 (Russ). The pptn. of $\text{Ca}(\text{VO}_3)_2 \cdot 4\text{H}_2\text{O}$ by CaCl_2 from NaVO_3 aq. solns. was studied as a function of the concn. of NaVO_3 (0.1-0.8M) and of the $\text{CaO}:\text{V}_2\text{O}_5$ ratio (0.5-5.0) at 20° and pH 6.5-7.3. The solv. of $\text{Ca}(\text{VO}_3)_2 \cdot 4\text{H}_2\text{O}$ in H_2O and N NaCl soln. was detd. as a function of temp. (20 - 70°). The heats of soln. were 10.6 and 6.6 kcal/mole in pure H_2O and in N NaCl , resp.

B. S. Treiser

(ΔH_{soln})

C.A. 1974. 80. N 4

Ca(VO₃)₂

24 В10. О метаванадате кальция $\text{Ca}(\text{VO}_3)_2 \cdot 4\text{H}_2\text{O}$.
Лейцин В. А., Сирина Т. П., Першина Р. Ф.
«Ж. неорган. химии», 1973, 18, № 9, 2564—2565.

Из водного р-ра вне зависимости от отношения $1/2 \text{CaCl}_2 : \text{NaVO}_3$ осаждается $\text{Ca}(\text{VO}_3)_2 \cdot 4\text{H}_2\text{O}$ (I).
Осаждение I проводили из р-ра, содержащего 0,1—0,8 М NaVO_3 , $\text{CaO} : \text{V}_2\text{O}_5$, изменяли в пределах 0,5—5,0, pH р-ра 6,5—7,3. В зависимости от конц-ии V и избытка Ca р-ры длительное время (от нескольких часов до 3—5 суток) находились в состоянии пересыщения. Время достижения равновесия 5—10 суток и более. Для идентификации I проводили кристаллооптический анализ. Для I рассчитано произведение р-римости $(2,88 \cdot 10^{-8})$. Изучена т-рная зависимость р-римости I в H_2O и I и. р-ре NaCl .

М. Г. Р.

Синтез

Акаг

Х. 1973 № 24.

1973

ЗР-17 - 4308

Ca₅V₂O₁₀

1974

17 Б475. Синтез и структурная характеристика ванадата кальция $\text{Ca}_5\text{V}_2\text{O}_{10}$. Фотьев А. А., Макаров В. А. «Ж. неорганической химии», 1974, 19, № 4, 1116—1118

Сплавлением смеси V_2O_5 и CaCl_2 с мол. соотношением 5—20 : 1 в области т-р 700—1300° в течение 0,5—3 час. получено соединение $\text{Ca}_5\text{V}_2\text{O}_{10}$ (I). Проведен рентгенофазовый анализ I (дифрактометр, λ Cu), приведены значения межплоскостных расстояний. Параметры решетки I: a 7,134, b 11,32, c 12,45 Å, $Z=4$, ρ (изм.) 3,05, ρ (выч.) 3,058, N_g 1,857, N_m 1,851, N_p 1,833. ИК-спектр I характеризуется полосами поглощения связей V—O 800 и 825 cm^{-1} . Близость ИК-спектра I к спектру $\text{Ca}_3\text{V}_2\text{O}_8$ позволяет предположить наличие в структуре I тетраэдрич. группировок. Попытка синтезировать I твердофазным керамич. способом не удалась. Очевидно, при образовании I важно наличие жидк. фазы, обеспечивающей нужную скорость диффузионной стадии.

В. С. Сергиенко

структура

*ж. 1974
N17*

$\text{LiH}_3\text{PV}_{12}\text{O}_{36}^{3-}$, $\text{NaH}_3\text{PV}_{12}\text{O}_{36}^{3-}$

1974

$\text{KH}_3\text{PV}_{12}\text{O}_{36}^{3-}$, $\text{MgH}_3\text{PV}_{12}\text{O}_{36}^{2-}$, $\text{CaH}_3\text{PV}_{12}\text{O}_{36}^{2-}$

$\text{SrH}_3\text{PV}_{12}\text{O}_{36}^{2-}$ (K_p)

IX 4685

Курбатова Н.Д., Чеканин А.А.,
Ин-т химии УралГСС. кауз. Центр РАН СССР.

Свердловск, 1974, лг. Рукопись № 6 ВИНИТИ,
11 квартал 1974 г. № 2337-74 Ден.). Комплексный
фактор = 12. Были получены темперомеханические с
кариотипами исследуемых и изученных образцов

РНХиИИ, 1975.

8 В 70 Ден.

B (cp)

10к.

3CaO·V₂O₅

BP-18-4812 1974

2 CaO·V₂O₅

CaO·V₂O₅

130023p Free energies of the formation of calcium vanadates. Prasad, K. K.; Abraham, K. P. (Res. Dev. Div., Tata Iron and Steel Co. Ltd., Jamshedpur, India). *Trans. Indian Inst. Met.* 1974, 27(4), 259-61 (Eng). CaF₂ [7789-75-5] was used as a solid electrolyte with ionic conduction for the detn. of free energies of formation of the system CaO-V₂O₅. According to the phase diagram, 3 compds. exist in this system, namely 3CaO·V₂O₅, 2CaO·V₂O₅, and CaO·V₂O₅. The free energies of formation (500-700°) of the 3 vanadates are -87,000 ± 860, -63,210 ± 690 and -35,990 ± 400 cal, resp. A. P. Som

ΔGf

C.A.1975. 82. N20

$\text{CaO} \cdot \text{V}_2\text{O}_5$, $2\text{CaO} \cdot \text{V}_2\text{O}_5$

1974

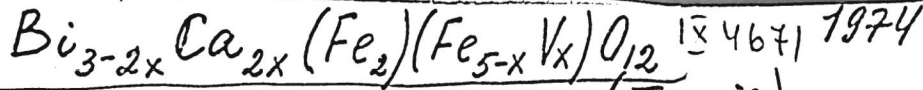
$3\text{CaO} \cdot \text{V}_2\text{O}_5$

14 Б825. Свободная энергия образования ванадатов кальция. Prasad K. K., Abraham K. P. Free energies of formation of calcium vanadates. «Trans. Indian Inst. Metals», 1974, № 4, 259—261 (англ.)

Методом э. д. с. с тв. F⁻-ионным электролитом (CaF_2) в интервале т-р 500—700° определены свободные энергии образования $\text{CaO} \cdot \text{V}_2\text{O}_5$, $2\text{CaO} \cdot \text{V}_2\text{O}_5$, $3\text{CaO} \cdot \text{V}_2\text{O}_5$. Измеренные значения э. д. с. практически не зависели от т-ры (в пределах ± 5 мв). В исследованном т-рном интервале свободные энергии образования указанных ванадатов из окислов составили соотв. -35990 ± 400 , -63210 ± 690 и -87060 ± 860 кал/моль.

Л. Мешков

X. 1975. N14



(Taurie).

Crookomur E. M., Tempob P. A.,
Bemurko B.B., Ikonobov D. N.,

Phys. Status Solidi A, 1974, 211,
K9-K12.

Magnetoelastic coupling investi-
gation of bismuth-calcium-iron
-vanadium garnets.

C.A. 1974. 80 N14.758475 5 ③

Бакадий оксиды $V_n O_m$, $\text{Ca}V_{12}O_{30}$,
 $S_2 V_{12} O_{30}$, $Ba V_{12} O_{30}$, $Cd V_{12} O_{30}$ (ОИФ, КР) 1974

Волков В.Д., Фомичев Я.А. № 4728

Нечуйчик А.Д.

З Сб. „Химия и технология бакадиевых
соедин., Пермь, 1974, 248-254
Фазовые равновесия в системах оксидов
бакадия и кислородных бакадиевых
сплавов.

РНХУМи, 1975
15768

Q

M

Φ

10

$\text{Ca}(\text{VO}_3)_2 \cdot 4\text{H}_2\text{O}$

1974

22 Б414. Изучение структурных изменений кристаллогидрата метаванадата кадмия. Ulická L. Investigation in structural changes of cadmium metavanadate crystallohydrate. «Acta Fac. rerum natur. Univ. Com. Chim.», 1974, 20, 11—17 (англ.; рез. словац., рус.)

Рентгенографически и методом ДТА изучены структурные изменения $\text{Cd}(\text{VO}_3)_2 \cdot 4\text{H}_2\text{O}$ (I), к-рые происходят вследствие дегидратации или при нагревании безводн. соли. Дегидратация I при 350° ведет к образованию рентгеноаморфной α -фазы, переходящей при 550° в β -фазу. Молекулы H_2O связаны слабо, но дегидратация приводит к изменению структуры. Приведены рентгенограммы порошка продуктов дегидратации I. Сравнение рентгенографич. данных для I и $\text{Ca}(\text{VO}_3)_2 \cdot 4\text{H}_2\text{O}$ не подтверждает предположения об изоструктурности этих соединений. Параметры монокл. решетки I: $a = 13,606$, $b = 10,496$, $c = 7,182\text{\AA}$, $\beta = 111^\circ 42'$, $Z = 4$, ф. гр. $C2/c$, Cc .

С. А. Линде

(Tir)

X. 1975
N 22

CaVO₃

1975

12 Б394. Рентгенографическое исследование ванади-
та кальция. Архаров В. И., Богословский В. Н.,
Мартышев Н. Т., Стafeева Н. М. «Кристалло-
графия», 1975, 20, № 1, 52—56

Рентгенографически (метод порошка, λ Cu) исследо-
ван CaVO_3 (I), полученный обжигом смеси CaCO_3 и
 V_2O_3 . Структура I относится к типу перовскита с па-
раметром кубич. решетки: $a = 7,567\text{\AA}$. Элементарная
ячейка I представляет увосьмеренную малую перовски-
товую ячейку. Кратное увеличение параметра объяс-
няется упорядоченным расположением неидентичных,
из-за отклонения состава от стехиометрич. по содержа-
нию кислорода, перовскитовых ячеек. При изменении
условий синтеза получена смесь двух фаз: кубич. и
ромбич. с параметрами решетки: $a = 5,324$, $b = 5,336$, $c =$
 $7,538\text{\AA}$.

Е. А. Писарев

Сформулированы

задачи

решения

2. 1975. N 12

IX-5305

1975

H₃PV₁₂O₃₆⁴⁻ · (Li⁺, Na⁺, K⁺, Ca²⁺, Sr²⁺)
(K сгас.)

Ивакин А.А., Курбагова Н.Д.,
Теристы доке - Всес. Чиревское совещ.
Хим. Калинкин. соедин., 12^и,
Новосибирск, 1975, 1, б4-65'



B

5

С.А. 1976, 85, №20, 149807 f

$\text{LiH}_3\text{PV}_{12}\text{O}_{36}^{3-}$, $\text{NaH}_3\text{PV}_{12}\text{O}_{36}^{3-}$, 1975

$\text{KH}_3\text{PV}_{12}\text{O}_{36}^{3-}$, $\text{MgH}_3\text{PV}_{12}\text{O}_{36}^{2-}$, $\text{CaH}_3\text{PV}_{12}\text{O}_{36}^{2-}$

$\text{SrH}_3\text{PV}_{12}\text{O}_{36}^{2-}$ (Kc) IX-5219

Курбатова Л.Д., Чвакин А.А.

Воронова Э.Н.

Коордикац. химия, 1975, I, NII, 1431-1487

Изучение кислотно-основных и комплексообразующих свойств анионов фосфат-12-ванильных гетерополиксилометов.

РНХим, 1976



FB53

B (P)

1975

 CaV_2O_5 SrV_2O_5

(Tm)

121550b Phase diagrams of vanadium pentoxide-calcium hypovanadate and vanadium pentoxide-strontium hypovanadate systems. Volkov, V. L.; Fotiev, A. A.; Surat, L. L. (Inst. Khim., Sverdlovsk, USSR). *Zh. Fiz. Khim.* 1975, 49(6), 1575-7 (Russ.). The title phase diagrams were studied in Ar atm. using x-ray anal. and DTA. In the V_2O_5 - CaV_2O_5 system one compd. (β phase) was found: $\text{Ca}_x\text{V}_2\text{O}_5$ ($0.17 \leq x \leq 0.33$). The β phase forms a eutectic (m. 668° ; 4 mole % CaV_2O_5) with the solid soln. of Ca in V_2O_5 and one with CaV_2O_5 (m. 713° , 42 mole % CaV_2O_5). The max. m.p. (congruent) of the phase is 724° . CaV_2O_5 incongr. meltly (in vacuum) m. 1100° . In air, CaV_2O_5 oxidizes above 390° (max. oxidn. rate at 630°). V_2O_5 reacts with SrV_2O_5 to yield 2 types of bronze: $\text{Sr}_x\text{V}_2\text{O}_5$ (β phase, $0.18 \leq x \leq 0.33$, congruently m. 702°) and $\text{Sr}_y\text{V}_2\text{O}_5$ (δ phase, $0.51 \leq y \leq 0.54$, incongruently m. 665°). The β and δ phases form a eutectic at 44 mole % SrV_2O_5 m. 655° . The SrV_2O_5 in vacuum m. $\sim 1185^\circ$. Oxidn. in air starts at 400° and reaches the max. rate at 600° .

M. Kyrs

C.A. 1975, 83 n14

+1

$\text{Li}_{1,6} \text{V}_{12} \text{O}_{29,7}$, $\text{Na}_{1,9} \text{V}_{12} \text{O}_{29,7}$, 1976

$\text{CaV}_{12} \text{O}_{30}$. (C_P , T_{c} , ΔH_{c}) IX-5356

Плещинева Е.Д., Волков В.Н.,
Фомичев Я.Я.

Ж. физ. химии, 1976, 50, N10, 2683-2684

Исследование высокотемпературных
теплопроводности ванадиевых бронз титана,
 $\text{MnV}_{12} \text{O}_{30}$.

РДХХУМ, 1977

45843



Б 

УДК 537.85

1977



qazobas
quadr.

88: 66425r Study of interactions in the calcium borate--vanadium pentoxide ($\text{CaO} \cdot 2\text{B}_2\text{O}_3 - \text{V}_2\text{O}_5$) system. Rza-Zade, P. F.; Abbasov, M. A.; Samedov, F. R.; Mamedova, E. D.; Kerimova, R. A. (USSR). Issled. v Obl. Pererabotki Mineral'n. Resursov Azerbaidzhana 1977, 48-53 (Russ). From Ref. Zh., Khim. 1977, Abstr. No. 22B920. Title only translated.

C.A. 1978, 88, N10

3 Б810. Диаграмма состояния системы $\text{CaO}-\text{NiO}-$
 $-\text{V}_2\text{O}_5$. Слободин Б. В., Арапова И. А., Фо-
тиев А. А. «Ж. неорган. химии», 1977, 22, № 10,
2884—2886

По результатам рентгенофазового и микроскопич.
анализов построена фазовая диаграмма состояния си-
стемы $\text{CaO}-\text{NiO}-\text{V}_2\text{O}_5$ в субсолидусной области. В си-
стеме $\text{CaO}-\text{V}_2\text{O}_5$ установлено образование шести ва-
ниадатов кальция: $\text{Ca}(\text{VO}_3)_2$, $\text{Ca}_2\text{V}_2\text{O}_7$, $\text{Ca}_3(\text{VO}_4)_2$, Ca_7V_4-
 O_{17} , плавящихся с разл. при 775 , 975 , 1380 , 1100°
соотв., $\text{Ca}_4\text{V}_9\text{O}_{10}$ и $\text{Ca}_5\text{V}_2\text{O}_{10}$. В системе $\text{NiO}-\text{V}_2\text{O}_5$ об-
разуется метаваниадат $\text{Ni}(\text{VO}_3)_2$, пироманадат $\text{Ni}_2\text{V}_2\text{O}_7$
и ортомуниадат $\text{Ni}_3(\text{VO}_4)_2$, плавящиеся с разл. при 790 ,
 880 и 1220° соотв. $\text{Ni}_3(\text{VO}_4)_2$ при 520° претерпевает
полиморф. превращение. В системе $\text{CaO}-\text{NiO}$ имеются
ограниченные тв. р-ры на основе NiO и CaO , имеющие
область гомогенности $2-3$ мол.% при 1100° , а при
т-ре эвтектики (1720°) несколько десятков процентов.
Подтверждено образование двойного ортомуниадата
 $\text{Ca}_{2.5+x}\text{Ni}_{2-x}\text{V}_3\text{O}_{12}$, где $0,25 \geq x \geq 0$, имеющего дефект-
ную структуру граната. Т. пл. двойного ортомуниадата,
сопровождающегося разл. на $\text{Ni}_3(\text{VO}_4)_2$ и расплав, ме-
няется от 1045° для $x=0$ до 1056° для $x=0,25$.

$\text{Ca}(\text{VO}_3)_2$

$\text{Ca}_2\text{V}_2\text{O}_7$

и V_3

(T_m)

20. 1978,
НЗ

70922.2729

01012

1977

Х

IX-5649

Фазовый состав и диаграммы состояния
 систем $Ca_3(VO_4)_2 - M_3(VO_4)_2$, где
 $M = Mg, Zn$. Еуравлев В.Д., Фотиев А.А.
 "Изв. АН СССР. Неорган. материалы", 1977,
 13, № 8, 1461-1463.

0967 ПМК

929 935 958

ВИНИТИ

1948

$\text{Ca}_3(\text{VO}_4)_2$ 19 Б668. Ортованадат кальция, $\text{Ca}_3(\text{VO}_4)_2$ — новый высокотемпературный сегнетоэлектрик. Glass A. M., Abrahams S. C., Ballman A. A., Loiacono G. Calcium orthovanadate, $\text{Ca}_3(\text{VO}_4)_2$ — a new high-temperature ferroelectric. «Ferroelectrics», 1978, 17, № 3—4, 579—582 (англ.)

изучен
соступ.

Горн

Изучены диэлектрич. и пироэлектрич. св-ва и структура $\text{Ca}_3(\text{VO}_4)_2$ (I). Кристаллы выращены методом Чохральского из стехиометрич. расплава. Проведены исследования, включающие рентгеноструктурный анализ, металлографию и измерения диэлектрич. и пироэлектрич. констант. Установлено, что изученное соединение относится к пространственной группе $R\bar{3}c$ с параметрами элементарной ячейки (298°K) $a = 10,81322 \pm 0,00008$, $c = 38,03915 \pm 0,00022$ А. Число формульных единиц на ячейку равно 7. Гидростатич. плотность I составляет $3,19 \pm 0,02$ г/см³. Исследования т-рой зависимости диэлектрич. и пироэлектрич. констант показали, что соединение является сегнетоэлектриком с т-рой Кюри 1383°K . Размер доменов определен при помощи селективного травления и равен 1 мм.

И. Я. Цвейбак

Х-1948.Н19

$\text{Ca}_3(\text{VO}_4)_2$

1978

89: 139081h Calcium orthovanadate, $\text{Ca}_3(\text{VO}_4)_2$ - a new high-temperature ferroelectric. Glass, A. M.; Abrahams, S. C.; Ballman, A. A.; Loiacono, G. (Bell Lab., Murray Hill, N. J.). *Ferroelectrics* 1978, 17(3-4), 579-82 (Eng). The ferroelec. properties are described of $\text{Ca}_3(\text{VO}_4)_2$. Large (75 x 13 mm) transparent crystals were grown by the Czochralski pulling method. Elec. 180° domains of mm dimensions are obsd. by etching as-grown crystals. The ferroelec. Curie temp. (1383 K) was detd. from dielec., thermal, and pyroelec. studies.

Taurie

C.A. 1978, 89, N16

$\text{La}_3(\text{VO}_4)_2$ [Om. 38714] 1978

Когол N.д., Азаров В.Д.,
Помес А.А.,

(54) Neomash. маневицам,
1978, 14, №, 1138-1140.

*Сах V_xO₅
бронза*

1973

4 Б670. Термодинамическое состояние кислорода в
оксидных ванадиевых бронзах $\text{Ca}_x\text{V}_2\text{O}_5$. Волков В. Л.
Ж. физ. химии, 1978, 52, № 10, 2447—2450

В интервале T - p 820—950 К измерены э. д. с. гальванич. ячеси $\text{Ca}_{0,02}\text{V}_2\text{O}_5 + \text{Ca}_x$ (или $\text{Ca}_{0,17}\text{V}_2\text{O}_5 + \text{Ca}_x$) | $\text{Cu}, \text{Cu}_2\text{O} | \text{Pt}$ для 7 кальцийванадиевых бронз с x от 0,170 до 0,330 (β -фаза) и для $\text{Ca}_{0,02}\text{V}_2\text{O}_5 + \text{Ca}_x$ (или $\text{Ca}_{0,17}\text{V}_2\text{O}_5 + \text{Ca}_x$). Рассчитаны парц. термоэлектродные потенциалы кислорода в бронзах. Значения $\Delta H^\circ_{\text{O}_2}$ кДж/моль и $-\Delta S^\circ_{\text{O}_2}$ дж/моль. град. состояния для $x = 0,02$: $220,0 \pm 9,4$ и 151 ± 11 ; $x = 0,170$: $219,0 \pm 10,7$ и 190 ± 7 ; $x = 0,330$: $272,1 \pm 15,5$ и 168 ± 17 . Графическая равновесная диаграмма состояния бронз $\text{Ca}_x\text{V}_2\text{O}_5$. В изученном интервале T - p и давл. существуют три области: двухфазная — тв. р-р Ca в V_2O_5 ($\text{Ca}_{0,02}\text{V}_2\text{O}_5$ — α -фаза) + бронза $\text{Ca}_{0,17}\text{V}_2\text{O}_5$; однофазная $\text{Ca}_x\text{V}_2\text{O}_5$ (β -фаза); трехфазная — бронза $\text{Ca}_{0,33}\text{V}_2\text{O}_5 +$

2.1979.14

+Ca(VO₃)₂+VO₂. Нижней границе последней области
отвечает $\lg pO_2$ (атм) = 8,44—15 550/T (813—973 К). Об-
суждаются условия контролируемого обжига для полу-
чения броиз заданного состава. А. Б. Кисилевский

Ca_{0.33}V₂O₅ *B91-18-5780*

1048

88: 127033k Study of the phase equilibria of the calcium oxide-vanadium pentoxide-vanadium tetroxide system. Volkov, V. L. (Inst. Khim., Sverdlovsk, USSR). *Zh. Neorg. Khim.* 1978, 23(1), 176-9 (Russ). The CaO-V₂O₅-V₂O₄ phase diagram was detd. at 600° from x-ray phase anal. and emf. (with solid electrolytes) data. The compn. diagram (-log P_{O₂} vs. (1/T)) for 773-993 K shows the stability of V oxides, Ca_xV₂O₅ bronze, and Ca vanadates. The bronze Ca_{0.33}V₂O₅ has thermodn. (formation) parameters $\Delta H_{298}^{\circ} = -1774$ kJ/mol and $\Delta S_{298}^{\circ} = 131$ entropy units.

4H₂₉₈, 45⁰₂₉₈

C.A. 1978, 88, N18

Ca_{0.33}V₂O₅-ВР-18-5750 1978

14 Б961. Исследование фазовых равновесий системы CaO—V₂O₅—V₂O₄. Волков В. Л. «Ж. неорган. хим.», 1978, 23, № 1, 176—179

Методами рентгенофазового анализа и э. д. с. с тв. электролитом изучена равновесная диаграмма состояния системы CaO—V₂O₅—V₂O₄ при 600°. Для области т-р 773—993° К построена равновесная диаграмма состояния оксидов ванадия, бронзы Ca_xV₂O₅ и ванадатов кальция. Определены термодинамич. характеристики оксидной ванадиевой бронзы кальция $\Delta H_{298}^0 = -1774$ кдж/моль и $S_{298}^0 = 131$ э. е.

Резюме

21.11.298

5⁰₂₉₈

Х, 1978 N 14

1979

$\text{Ca}_{0,17}\text{V}_2\text{O}_5$

12 Е261. Термоемкость и энтропия оксидных ванадиевых бронз щелочно-земельных металлов типа β. Ходос М. Я., Коуров Н. И., Фотиев А. А., Волков В. Л. «Изв. АН СССР. Неорганические материалы», 1979, 15, № 9, 1638—1641

$\text{Sr}_{0,17}\text{V}_2\text{O}_5$

С помощью вакуумного адиабатич. калориметра в интервале T - r . 25—300° К исследована температурная зависимость теплоемкости оксидных ванадиевых бронз (ОВБ) $M_{0,17}\text{V}_2\text{O}_5$ (M —Ca, Sr, Ba) типа β. Установлено, что полученные политетмы до $T < 150^{\circ}\text{K}$ хорошо описываются теорией В. В. Тарасова для цепочечных структур при отношении сил, действующих между атомами, расположенными вдоль и поперек цепей, равном 0,275 для кальциевой и стронциевой и 0,250 — для барниевой бронз. Определены характеристич. т-ры Дебая ОВБ по Тарасову, рассчитаны стандартные значения энтропии и теплосодержания исследованных соединений.

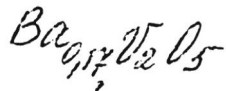
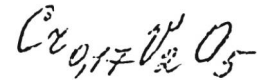
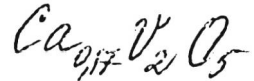
СР (бронз)

(+2)

Автореферат

Ф. 1979 № 12

1979



C_p ; Н-Н

(+) □

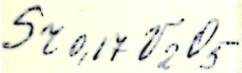
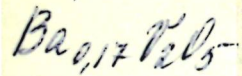
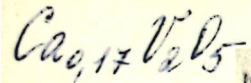
2. 1979, № 24

24 Б750. Теплоемкость и энтропия оксидных ванадиевых бронз щелочно-земельных металлов типа β . Ходос М. Я., Коуров Н. И., Фотиев А. А., Волков В. Л. «Изв. АН СССР. Неорганические материалы», 1979, 15, № 9, 1638—1641

С помощью вакуумного адиабатич. калориметра измерена теплоемкость оксидных ванадиевых бронз $\text{Ca}_{0,17}\text{V}_2\text{O}_5$ (I), $\text{Cr}_{0,17}\text{V}_2\text{O}_5$ (II) и $\text{Ba}_{0,17}\text{V}_2\text{O}_5$ (III) типа β в т-рном интервале 25—300 К. C_p 298,15 равна $138,4 \pm 0,1$, $138,8 \pm 0,1$ и $136,2 \pm 0,1$ дж/моль·град для I, II и III соотв. Установлено, что зависимости $C_p(T)$ для исследованных соединений хорошо описываются теорией Тарасова для цепочных структур при отношении сил, действующих между атомами в направлениях между цепями и вдоль цепей, равном 0,275 для бронз кальция и стронция и 0,250 — для $\text{Ba}_{0,17}\text{V}_2\text{O}_5$. Определены характеристич. т-ры Дебая по Тарасову, равные для I, II и III соотв. 417, 417 и 387 К. Рассчитаны стандартные значения энтропии и теплосодержания, равные соотв. для I, II и III $135,2 \pm 0,7$, $139,3 \pm 0,7$ и $141,3 \pm 0,7$ дж/моль·град и $22\ 330 \pm 100$, $22\ 760 \pm 100$ и $22\ 690 \pm 100$ дж/моль.

А. М.

1978



91: 182401r Heat capacity and entropy of oxide vanadium bronzes of alkaline earth metals of β type. Khodos, M. Ya.; Kourev, N. I.; Fotiev, A. A.; Volkov, V. L. (Inst. Khim., Sverdlovsk, USSR). *Izv. Akad. Nauk SSSR, Neorg. Mater.* 1979, 15(9), 1638-41 (Russ). Heat capacities of β -type bronzes $\text{Ca}_{0.17}\text{V}_2\text{O}_5$ [52110-63-9] (I), $\text{Sr}_{0.17}\text{V}_2\text{O}_5$ [52110-68-4] (II), and $\text{Ba}_{0.17}\text{V}_2\text{O}_5$ [52109-39-6] (III) were detd. at 25-300 K by using an adiabatic calorimeter. The heat capacity (C_p)-temp. (T) dependence of these bronzes conform to the V. V. Tarasov (1958) theory. The relation can be expressed by the equation C_p (J/mol K) = $AT^3 + BT$. The consts. are (A) 0.000137, 0.000129, and 0.000149 and (B) 0.058, 0.098, and 0.118 for I, II, and III, resp. Debye temps. and enthalpy and entropy values were evaluated.

(Cp)

(42) ⊗

0.1.1979, 91/V2a

1980

Ca₂V₂O₇

18 Б791. Взаимодействие оксида ванадия (III) с солями кальция. Фотиев А. А., Кожевников В. Л. «Ж. неорган. химии», 1980, 25, № 6, 1484—1487

На основании термодинамич. анализа возможных р-ций и в результате эксперим. исследования взаимодействия V₂O₃ с CaSO₄ в вакууме и с CaCO₃ в токе гелия сделано заключение о протекании окисл.-восст. процесса с образованием в кач-ве конечного продукта пиро-ванадата кальция (Ca₂V₂O₇). Резюме

Составлен

Х 1980 № 18

Ca V₂O₆

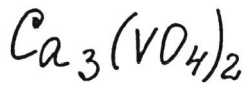
1980

6 Б946. Доказательство существования фазового перехода в CaV₂O₆ с помощью порошковой дифрактометрии рентгеновских лучей. Gagnier Riegg. Mise en évidence d'une transition de phase de CaV₂O₆ par diffractométrie des rayons X sur poudre. «С. г. Acad. sci.», 1980, C291, № 2, 45—48 (франц.; рез. англ.)

В интервале т-р 77—900 К рентгенографич. методом определены параметры решетки CaV₂O₆ (I). Показано, что параметр *a* проходит через минимум, с быстро возрастает, а *b* уменьшается в интервале 77—300 К. Параметр *b* монотонно возрастает во всем исследованном диапазоне т-р. Найденные значения главных коэф. *a*₁, *a*₂, *a*₃ тензора термич. расширения составили при 200 К: 57; 3; —26, при 295 К: 30; 5; —2, соотв. Сделан вывод о наличии размытого фазового перехода в I в области 260—300 К.

Ж. Г. Василенко

X.1981.№6



1980

Ходос М. З. и др.

$C_p, T_{tr}, \Delta H_f$ Узб. АН СССР. Узбржан.

ΔG_f математикас, 1980,
16, №4, 697-700.

См $\text{Mg}_3(\text{VO}_4)_2; T$

$\text{Ca}_3(\text{VO}_4)_2$

1980

З Б914. Термостимулированная экзоэлектронная эмиссия ортovanадата кальция. Красненко Т. И., Слободин Б. В. «Изв. АН СССР. Неорган. материалы», 1980, 16, № 10, 1880—1881

Изучена термостимулированная экзоэлектронная эмиссия ортovanадата кальция $\text{Ca}_3(\text{VO}_4)_2$ в интервале $t\text{-}r$ 200—600°. Показано, что резкое увеличение интенсивности эмиссионного процесса при $t\text{-}r$ ах 380 и 520° может быть связано с трансформацией матрицы $\text{Ca}_3(\text{VO}_4)_2$.

Автореферат

(Tet)

Х. 1981/13

Са₃(VO₄)₂

1980

7 Б764. Электрофизические свойства ортovanадата кальция. Красненко Т. И., Фотиев А. А., Слободин Б. В. «Изв. АН СССР. Неорганические материалы», 1980, 16, № 12, 2216—2218

Изучены электронная проводимость, диэлектрическая проницаемость, магнитная восприимчивость ортovanадата кальция. Показано, что структурные превращения формируют изменения в характере электрофиз. свойств Са₃(VO₄)₂, являясь причиной перераспределения заряда в сложных анионных группировках VO₄³⁻.

Автореферат

Tt2

Х. 1981 № 7

$\text{CaV}_6\text{O}_{16} \cdot 9\text{H}_2\text{O}$

1982

10 Б471. Рентгенографические порошковые данные для хьюэтита. X-ray powder data for hewettite. Bailey Peter. «Miner. Mag.», 1982, 46, № 341, 503—504 (англ.)

Получена порошковая рентгенограмма для хьюэтита $\text{CaV}_6\text{O}_{16} \cdot 9\text{H}_2\text{O}$ (ф. гр. $P2/m$, a 12,250, b 3,497, c 11,174, β 97°, 15°, ρ (выч.) 2,67, ρ (изм.) 2,618) на λ Cu-K $_{\alpha 1}$ с графитовым монохроматором (C^{12}) в области 2θ 4°—66° при скорости сканирования $0,125^\circ$ в мин. Приведены значения hkl , d (выч.), d (набл.) и I .

П. А. Сандомирский

параллель
решетки

ж. 1983, 19, № 10

Са₃(VO₄)₂

1982

4 Б595. Выращивание и исследование нового сегнетоэлектрика Са₃(VO₄)₂. Бузнякова О. К., Ивлева Л. И., Кузьминов Ю. С., Осико В. В. «Изв. АН СССР. Неорган. материалы», 1982, 18, № 11, 1875—1878

*выращиван.
и
исследован.*

Получены крупные монокристаллы нового сегнетоэлектрика ортovanадата кальция. Определены оптим. параметры синтеза однофазной шихты. Установлены оптим. параметры выращивания и отжига кристаллов на установке «Донец-1». Исследована т-рная зависимость диэлектрич. проницаемости в интервале 25—900° в направлении осей *s* и *a* на частотах 1 кГц и 1 МГц. Методом травления выявлена и изучена доменная структура. Получены спектры поглощения окрашенных и бесцветных образцов Са₃(VO₄)₂. Автореферат

X. 1983, 19, N4

Сах V₂O₇

1982

4 E514. Получение и свойства монокристаллов
Ca₂V₂O₇. Preparation and properties of Ca₂V₂O₇ single
crystals. Grandin de l'Erprevier A. F., Bu-
chanan R. C. «J. Electrochem. Soc.», 1982, 129, № 11,
2562—2565 (англ.)

Монокристаллы Ca₂V₂O₇ выращивались из раствора в расплаве в системе CaO—V₂O₅—K₂O. Оптимальный состав: 33 мол. % CaO, 55 мол. % NH₄VO₃, 12 мол. % K₂CO₃. Рост проводился в Pt-тигле методом охлаждения. Начальная т-ра расплава 900° С в верхней части, у дна несколько ниже. Скорость охлаждения 5° С/ч до 600° С, затем нагрев отключался. При охлаждении кристаллов происходило растрескивание, в результате чего первоначально выросшие кристаллы размерами до 10×6×4 мм уменьшались (до 4×3×3 мм). Растрескивание происходило при 400° С, попытки устранить его отжигом или медленным охлаждением до комнатной т-ры были безуспешными. Кристаллы индицирова-

получение

и

cb - fa

90. 1983, 18, № 4

ны в триклинной системе с симметрией $P1$. До $\approx 600^\circ\text{C}$ фазовые превращения не наблюдались. Коэф. теплового расширения в этой области т-р $\approx 97 \cdot 10^{-7} \text{ см}/\text{см}\cdot^\circ\text{C}$. Кристаллы имеют высокое уд. сопротивление и высокую устойчивость к электрич. пробою. Проводимость до $\approx 375^\circ\text{C}$ в основном электронная, при более высоких т-рах преобладает ионная.

С. Х. Б.

Ca_xV_{2x}O₅

1983

22 Б418. Кристаллическая структура кальций-ванадиевой бронзы $\text{Ca}_x\text{V}_{2x}^{4+}\text{V}_{2-2x}^{5+}\text{O}_5$. Kristallstruktur der Calcium-Vanadium-Bronze $\text{Ca}_x\text{V}_{2x}^{4+}\text{V}_{2-2x}^{5+}\text{O}_5$. Cutoglu A. «Z. Kristallogr.», 1983, 162, № 1—4: 23 Diskussionstag., Tübingen, 7—10 März, 1983, 263—272 (нем.; рез. англ.)

Изучена крист. структура соединения $\text{Ca}_x\text{V}_2\text{O}_5$ (I), полученного в виде пластинчатых черных кристаллов в гидротермальных условиях в Ag-контейнере из $\text{Ca}(\text{OH})_2$ и V_2O_5 при 400°C и 1 кбар. Кристаллы I относятся к монокл. сингонии с параметрами решетки: $a = 11,805$, $b = 3,709$, $c = 9,270 \text{ \AA}$, $\beta = 101,87^\circ$, ф. гр. $C2/m$. Из данных определения структуры (дифрактометр, 1122 ненулевых отражения, $R = 0,030$) установлено, что $x = 0,6$. Атомы V имеют искаженную октаэдрич. координацию, V—O $1,636—2,359 \text{ \AA}$. Октаэдры VO_6 через общие ребра связаны в сдвоенные слои, параллельные (001). Два кри-

Структура

X. 1983, 19, N22.

сталлографически неэквивалентные атома Са статистически занимают позиции между слоями, связывая их между собой. Полиэдр атома $\text{Ca}_{(1)}$ — деформированная тетрагон. призма, $\text{Ca}-\text{O}$ 2,940—2,952 Å. Полиэдр $\text{Ca}_{(2)}$ — шестивершинник, напоминающий крышу дома, расстояния $\text{Ca}-\text{O}$ 2,414—2,483 Å. Указывается на изотипию I с $\text{Ag}_{0,68}\text{V}_2\text{O}_5$.

М. Б. Варфоломеев

CaV₂O₆

1983

19 Б444. Аномальное термическое расширение и слоистый характер метаванадатов MV_2O_6 ($M=Ca, Cd, Zn, Mg, Pb$). Dilatation thermique anormale et caractère en couches des metavanadates MV_2O_6 ($M=Ca, Cd, Zn, Mg, Pb$). Garnier P., Weigel D. «J. Solid State Chem.», 1983, 47, № 1, 16—23 (фр.; рез. англ.)

Проведена систематика структур метаванадатов типа MV_2O_6 , где $M=Zn$ (I), Mg (II), Cd (III), Ca (IV), Pb (V), Hg и на основании изменения их параметров решетки (метод порошка) при 77—600 К определены коэф. термич. расширения α . Для I, II и β-модификации III, имеющих слабо искаженную структуру типа браннерита, наибольшее расширение при нагревании наблюдается вдоль направления, перпендикулярного слоям из пирамид VO_5 , лежащих в плоскости xz . Коэф. термич. расширения α_1 вдоль этого направления при 80—295 К лежит в пределах $26,7 \cdot 10^{-6} \text{ K}^{-1}$ — $40,7 \cdot 10^{-6} \text{ K}^{-1}$ для I, $23,1 \cdot 10^{-6}$ — $46,2 \cdot 10^{-6} \text{ K}^{-1}$ для II, $21,5 \cdot 10^{-6}$ — $34,5 \cdot 10^{-6} \text{ K}^{-1}$ для III. Угол между направ-

Hz;

(4)

X. 1983, 19, N 19

лением наибольшего расширения и осью x : I 56,9—57,6, II 54,0—61,7, III 54,9—56,7°. Коэф. термич. расширения вдоль оси y для I—III в пределах 1—5. $\cdot 10^{-6} \text{ K}^{-1}$. Для IV наблюдается перелом на кривых изменения коэф. термич. расширения от т-ры при 300 К, указывающий на наличие фазового перехода II рода. У высокот-рной модификации $\text{IV} > 300 \text{ K}$ направление аномально высокого значения коэф. термич. расширения α_1 равного $28 \cdot 10^{-6} \text{ K}^{-1}$, перпендикулярно плоскости уг. Замещение Ca на Cd в IV по схеме $\text{Ca}_{1-x}\text{Cd}_x\text{-V}_2\text{O}_6$ приводит к снижению т-ры фазового перехода до 250 К ($x=0,05$) и $< 77 \text{ K}$ для $x \geq 0,25$. Для ромбич. V наиболее высокое значение α_3 при 80—660 К равно $25,6—31,5 \cdot 10^{-6} \text{ K}^{-1}$. Направление α_3 в этом случае совпадает с направлением связи V—O (6) в структуре, ориентированной перпендикулярно слоям полиэдров атомов V.

М. Б. Варфоломеев



CaV₂O₆

1983

8 E381. Аномальное тепловое расширение в слоях метаванадатов MV_2O_6 ($M=Ca, Cd, Zn, Mg, Pb$). Dilatation thermique anormale et caractere en couches des metavanadates MV_2O_6 ($M=Ca, Cd, Zn, Mg, Pb$). Gagnier P., Weigel D. «J. Solid State Chem.», 1983, 47, № 1, 16—23 (фр.; рез. англ.)

Методом порошкового рентгеноструктурного анализа определена температурная зависимость параметров решетки названных соединений в интервале т-р от 77 до 295 К. Обнаружена анизотропия теплового расширения, обусловленная слоистой структурой этих в-в. Для CaV_2O_6 имеет место пик вблизи 260 К для обоих направлений, что свидетельствует о наличии размытого фазового превращения. У SrV_2O_6 аномалия отсутствует.

Л. П. Ф.

(44) XI

90. 1983, 18, N8

CaO-V₂O₅

1983

99: 147070a Study of the effect of calcium oxide additives on the vapor pressure of liquid vanadium pentoxide. Polyakov, A. Yu. (Inst. Metall. im. Baikova, Moscow, USSR). Izv. Vyssh. Uchebn. Zaved., Chern. Metall. 1983, (7), 151-2 (Russ). The vapor pressure, P , of molten CaO-V₂O₅ mixts. in 1:1 and 2:1 ratios was detd. For CaO.V₂O₅ m. 1000°, P (24.4 Pa) was by a factor ~7.5 smaller than that for V₂O₅ (179 Pa). For (CaO)₂.V₂O₅ melts, the P decreased so much that it could not be detd. within the sensitivity limit of the method used (P., 1946).

(T_m, P)

c.A.1983, 99, n18

Ca_xV₂O₇

1983

21 Б398. Кристаллическая структура пированадата кальция. Трунов В. К., Великодный Ю. А., Мурашова Е. В., Журавлев В. Д. «Докл. АН СССР», 1983, 270, № 4, 886—887

Определена структура (λ Mo, прямой метод, 1293 отражения, R 0,031) $\text{Ca}_2\text{V}_2\text{O}_7$. Кристаллы трикл., a 6,667, b 6,921, c 7,018, α 86,38, β 63,84, γ 83,64°, Z 2, ф. гр. $P\bar{1}$. В структуре кислородные полиэдры V образуют тетрамерные цепочки, состоящие из связанных по ребру 2 VO_5 -полиоктаэдров и присоединенных к ним по вершинам с обеих сторон 2 VO_4 -тетраэдров. Между тетрамерами $\text{V}_4\text{O}_{14}^{-8}$ расположены 2 сорта атомов Ca, окруженных атомами O по 9- и 8-вершиннику. Полиэдры атомов Ca (CaO_9 и CaO_8) попарно сопряжены общей треугольной гранью (Ca—Ca 3,677 Å), а пары связаны с соседними полиэдрами по ребрам.

И. Л. Ф.

Х. 1983, 19, № 21

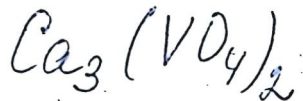
$\text{Ca}_3\text{V}_2(\text{SiO}_4)_3$ (Om-24262)

1985

Резекеенский Н. А.,

(2019мари) Техн. журн., 1985, № 9,
1328 - 1338.

ΔH_f°



1985

Roux Paul, Bonel
Gilbert.

Сибирь.

C. r. Acad. sci., 1985,
Sér. 2, 300, N^o 5, 165-167.

(см. $\text{Ca}_3(\text{PO}_4)_2$; 1)

CaV_xO_x

1986

Бухтояров О. И., Лепинских Б. М., Курлов С. П.

Моделирование термодинамических свойств и структуры расплавов методом Монте-Карло на примере системы CaO—V₂O₅

//Изв. вузов. Химия и хим. технология. — 1986. — Т. 29, вып. 8. — С. 45—49.

Библиогр.: 7 назв.

— — 1. Системы двойные, окисные — Термодинамические свойства — Математическое моделирование. 2. Кальций, окись — Исследование в системах. 3. Ванадий, пятиокись — Исследование в системах.

№ 117819

УДК 541.123.2.001.57

14 № 8305

ЕСКЛ 18.5

ВКП 28.10.86

Изд-во «Книга»

CaV₆

[Om. 27007]

1987

Mocala K.,
Ziółkowski J.

non-
MOP-
physic

J. Solid State Chem.,
1987, 69, n2, 299-311.

CaV₂O₆

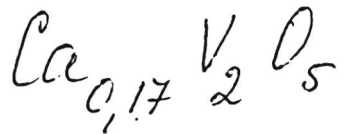
1987

16 В23. Исследование процесса осаждения ванадата кальция. Софронова А. В., Кремнева О. Г., Пасекунова В. С. «Терм. анал. и фаз. равновесия». Пермь, 1987, 69—72

Приведены результаты исследования процесса осаждения ванадия из водн. р-ров ванадата натрия фильтровой жидкостью, содержащей в кач-ве основного компонента хлорид аммония, и оксидом кальция. Показано, что степень осаждения ванадия увеличивается с повышением т-ры, расхода извести и при использовании оксида кальция в виде известкового молока, приготовленного на р-ре хлорида аммония. При 80° С и мол. соотношении CaO/V₂O₅, равном 3, степень осаждения составляет 99,9%.

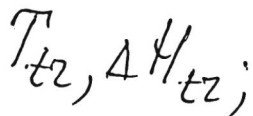
Резюме

X. 1988, 19, N 16.



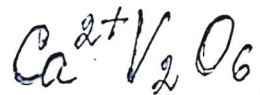
1987

Бауков Б. А.,
Бударинов Б. Д. Н.



Узб. Акад СССР Неоргах
журн., 1987, 23,
N1, 132 - 134.

(см. $\text{Li}_{0,33} \text{V}_2 \text{O}_5$; 1)



1988

Nord Anders & Kierkegaard
Peder, et al.,

KPUOMAUL.
NAPOR-
WEMPOI

Chem. Scr. 1988, 28, N2,
c. 133-136.

(Citr. $\text{Mg}^{2+}\text{V}_2\text{O}_6$; ?)

Ciencuva LOM. 29236a" 1988

Ca-V-O

Panek Z., Fitzner K.,
et al.,
spajov. prah.

u. mpmq.

cf - fa

Arch. Metallurg.,
1988, ● 33, 123-133

CaV₂ Tom. 32/1941 1928

CaV₃ Semenov G. A., Yopatin S. I.,
et al.,

$\Delta_f H^\circ$, 1988, 20, n 6, 637-641.
High-Temp.-High Pressures.

Thermodynamics of formation
of the gaseous ternary

oxide compounds of alkaline-
earth metals at high tem-
peratures.

CaV₃
CaVO₂

1988

7 Б3048. Термодинамика образования тройных оксидов щелочно-земельных металлов в газовой фазе при высоких температурах. Thermodynamics of formation of the gaseous ternary oxide compounds of alkaline-earth metals at high temperatures / Semenov G. A., Lopatin S. I., Kozyukova N. V., Kuligina L. A. // High Temp.— High Pressures.— 1988.— 20, № 6.— С. 641— 657.— Англ.

С помощью масс-спектрометра, оборудованного изготовленной из Mo сдвоенной эффузионной ячейкой, исследован состав газовой фазы над $M\text{XO}_2$, $M\text{XO}_3$, где $M=\text{Ca}$, Sr , Ba и $\text{X}=\text{P}$, V , Nb и Ta . Для калибровки чувствительности прибора использовано Au. Над $M_3(\text{PO}_4)_2$ зарегистрированы $M\text{PO}_2$, M , MO , PO и PO_2 . Из констант равновесия газофазных р-ций $\text{MO} + \text{PO} = M\text{PO}_2$ рассчитаны $-\Delta_f H^\circ_{298}$ и $\Delta_{at}H^\circ_{298}$ для $M\text{PO}_2$: 428 ± 6 и 1430 кДж/моль для $M=\text{Ca}$, 475 ± 7 и 1465 кДж/моль для $M=\text{Sr}$, 499 ± 7 и 1509 кДж/моль

№2

X. 1990, N 7 ⑧

для $M=$ Va. Над $M_3(VO_4)_2$ измерены константы равновесия газофазных р-ций $MO+VO=MVO_2$ и $MO+VO_2=MVO_3$ и рассчитаны $-\Delta_fH^\circ_{298}$ и $\Delta_{at}H^\circ_{298}$ для $CaVO_3$ и $CaVO_2$: 729 ± 15 и 2170 кДж/моль, 285 ± 15 и 1476 кДж/моль; для $SrVO_3$ и $SrVO_2$: 801 ± 15 и 2227 кДж/моль, 343 ± 15 и 1520 кДж/моль; для $BaVO_3$ и $BaVO_2$: 867 ± 10 и 2315 кДж/моль, 398 ± 15 и 1594 кДж/моль. Над $Ba(NbO_3)_2$ и $Ba(TaO_3)_2$ измерены константы равновесия газофазных р-ций $BaO+MO_2=BaMO_3$ и получены значения $-\Delta_fH^\circ_{298}$ и $\Delta_{at}H^\circ_{298}$: 903 ± 40 и 2549 кДж/моль для $M=Nb$, 937 ± 40 и 2647 кДж/моль для $M=Ta$. Расчеты проведены по 3-му закону термодинамики. Оценены молек. постоянные MXO_2 и MXO_3 .

Ю. С. Ходеев

п.
 памяти
 Ель

La_3V_3

1992

Vernos D.A., Si Salvo F.J.,

cereny J. Solid State Chem. 1992,
u 98, N₂, C. 318 - 322.

Характер. Сиены и характеристика
железо магнитного темпера, La_3V_3

P.M. N20, 1993, 20 52040

CaCoV_2O_7

1993

Мурашова Е. В.,
Великодний Ю. А. и др.

Красн. Ил. неорганическ.
структур. 1993. 38, № 9. С. 1453–
1454.

(см.  CaMgV_2O_7 ; ?)



1994

Reznitskii L. A.

Zh. Neorg. Khim.

1994, 39(12), 2044-8.

(4fH)

(see. $\text{Ca}_3 \text{Al}_2 \text{Ge}_3 \text{O}_{12}$; -)

1995



24 Б266. $\text{CaV}_2\text{O}(\text{PO}_4)_2$, изотипия с Cd-фазой. Ca-
 $\text{V}_2\text{O}(\text{PO}_4)_2$, isotopic with the Cd phase / Boudin S.,

Grandin A., Leclaire A., Borel M.-M., Raveau B. // Acta
crystallogr. C. — 1995. — 51, № 5. — С. 796—798. —
Англ.

Пластинчатые черные кристаллы $\text{CaV}_2\text{O}(\text{PO}_4)_2$ (I) полу-
чены нагреванием CaCO_3 , V_2O_5 и $\text{H}(\text{NH}_4)_2\text{PO}_4$ при 1073К
на воздухе в течение 2 ч. с добавлением металлическо-
го V. Полученная смесь нагревалась при 1453К в течение
24 ч., охлаждена со скоростью 4 К/ч до 1253К и
закалена до комнатной температуры. Проведен РСТА
(294К, λMo, 914 рассмотренных отражений, R 0,030). Па-
раметры ромбич. решетки: a, 14,192, b 6,424, c 7,317 Å,
V 667,1 \AA^3 , ρ (выч.) 3,46, Z 4, ф. гр. Pnma, структурный
тип $\text{CdV}_2\text{O}(\text{PO}_4)_2$. Структура I состоит из волнистых
 $[\text{V}_2\text{PO}_7]_{\infty 2}$ -слоев, которые в свою очередь образованы
 $[\text{VO}_4]_{\infty 1}$ рутиловыми и $[\text{VPO}_6]_{\infty}$ цепочками, соединенными
 PO_4 -тетраэдрами. В образовавшемся каркасе имеются

Структура

X. 1995, № 24

туннели в направлении [011], внутри которых с коорди-
нацией 6+1 размещены атомы Ca. Межатомные рас-
стояния: V—O 1,898—2,164 Å, P—O 1,54 Å, 1,53—1,54,
Ca—O 2,342—2,519 Å. Н. Л. Смирнова



CaV₄O₉

1996

7Б352. Фазовая диаграмма обедненной модели Гейзенберга для CaV₄O₉. Phase diagram of depleted Heisenberg model for CaV₄O₉ / Troyer Matthias, Kontani Hiroshi, Ueda Kazuo // Phys. Rev. Lett.—1996.—76, № 20.—С. 3822—3825.—Англ.

Фаз. диаг

X. 1997, N 7

$\text{Ca}_3(\text{VO}_4)_2$

1998

128: 249977m High-Temperature Transformations in Calcium Orthovanadate Studied with Raman Scattering. Grzechnik, Andrzej (Ecole Normale Supérieure de Lyon, 69364 Lyon, Fr.). *Chem. Mater.* 1998, 10(4), 1034–1040 (Eng), American Chemical Society. Raman spectra of $\text{Ca}_3(\text{VO}_4)_2$ (R3c space group), a high temp. ferroelec. with $T_c = 1383$ K, are analyzed at ≤ 1483 K with a group theory approach and discussed in relation to Raman spectra of other compds. with the palmierite structure (R $\bar{3}$ m space group). The ferroelec.–paraelec. phase transition at $T_c = 1383$ K is interpreted as due to the R3c – R $\bar{3}$ m structural transformation. At 500–800 K, there occurs a transition to an intermediate between the R $\bar{3}$ m and R3c phases, with all the VO_4^{3-} ions at sites with 3-fold symmetry. There is no soft-mode behavior obsd. at ≤ 1483 K, suggesting an order-disorder character of the transitions.

(T₂₂)
C.A. 1998; 128, N^o 20

CaV₄O₉

1999

(P)

130: 130-180v Perturbation expansion for specific heat in CaV₄O₉. Fukumoto, Yoshiyuki; Oguchi, Akihide (Department of Physics, Faculty of Science and Technology, Science University of Tokyo, Chiba; Japan 278-8510). *J. Phys. Soc. Jpn.* 1999, 68(1), 311-312 (Eng), Physical Society of Japan. The perturbation expansion was used to calc. the sp. heat of CaV₄O₉ up to 3rd order, and the results compared with the exptl. value.

C.A. 1999, 130, N10

CaV_4O_9

2001

Auzkombellay
Nerlopolit.

134: 168888e Low-temperature thermodynamics of quantum systems. Hellberg, C. S. (Center for Computational Materials Science, Naval Research Laboratory, Washington, DC 20375 USA). *Springer Proc. Phys.* 2001, 86(Computer Simulation Studies in Condensed-Matter Physics XIII), 43–52 (Eng), Springer-Verlag. The authors describe an efficient numerical technique for computing thermodn. quantities of quantum systems at low temps. All low-energy eigenvalues of the system are calcd. from a single Lanczos run. The method may be extended systematically to all temps. The authors apply the method to a Heisenberg model for the two-dimensional quantum disordered anti-ferromagnet CaV_4O_9 .

C.A. 2001, 134, N12